

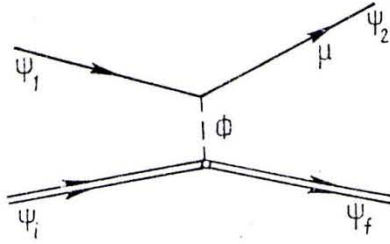
### НЕЭЛЕКТРОМАГНИТНОЕ ВЗАИМОДЕЙСТВИЕ В МЮОННОЙ ЕО-КОНВЕРСИИ

В электронной ЕО-конверсии (ЕОК) с точки зрения опыта представляет интерес возможность неэлектромагнитного взаимодействия (НВ), осуществляемого путем обмена виртуальным (псевдо) скалярным мезоном [1]. Вклад других вариантов НВ в абсолютную вероятность процесса, согласно обзору [2], очень мал или противоречит наблюдаемым фактам. С другой стороны, неотъемлемым элементом современных моделей электрослабого взаимодействия являются скалярные (хиггсовские) мезоны [3, 4]. Исходя из этого в данной работе рассматривается роль НВ, возникающего от обмена виртуальным скалярным мезоном  $\Phi$  с массой  $m_\Phi$  между мюоном и ядром. А так как мюонная внутренняя конверсия ( $\mu$ -ВК) наблюдалась экспериментально [5, 6], оценка вклада данного НВ в вероятность мюонной ЕО-конверсии ( $\mu$ -ЕОК) является, несомненно, актуальной задачей. Тем более, что в сходных процессах, согласно [7, 8], вклад НВ может давать наблюдаемые на опыте эффекты.

Потенциал НВ между мюоном и ядром от обмена скалярным мезоном можно представить в виде (см. приложение А, а также [9, 10]):

$$V(r) = -g_\Phi \frac{e^{-r m_\Phi}}{r}. \quad (1)$$

Диаграмма Фейнмана, соответствующая данному процессу, показана на рисунке.



Сплошная линия соответствует мюону  $\mu$ , пунктирная — скалярному мезону  $\Phi$ , двойная — ядру. Индексы «1, 2» и «i, f» обозначают соответственно начальное и конечное состояние для мюона и ядра

Таким образом, в первом порядке теории возмущений (ТВ) от потенциала (1) матричный элемент  $\mu$ -ЕОК при НВ будет иметь следующую форму:

$$W_{if}^{\text{НВ}} = g_{\Phi} \int \psi_i(\bar{R}) \psi_f(\bar{R}) \psi_1(\bar{r}) \psi_2(\bar{r}) \frac{e^{-|\bar{r}-\bar{R}| m_{\Phi}}}{|\bar{r}-\bar{R}|} d^3 R d^3 r, \quad (2)$$

где  $\psi_{i,f}$  — волновые функции (ВФ) ядра будем считать известными из какой-то модели ядра;  $\psi_{1,2}$  — ВФ мюона, удовлетворяющие уравнению Дирака с центрально-симметричным потенциалом протяженного ядра.

Для сравнения с формулой (2) приведем матричный элемент  $\mu$ -ЕОК при электромагнитном (ЭМ) взаимодействии (без токовых членов):

$$W_{if}^{\text{ЭМ}} = -\alpha \int \psi_i(\bar{R}) \psi_f(\bar{R}) \psi_1(\bar{r}) \psi_2(\bar{r}) \frac{e^{ik|\bar{r}-\bar{R}|}}{|\bar{r}-\bar{R}|} d^3 R d^3 r, \quad (3)$$

где  $k = E_2 - E_1$  — энергия перехода;  $\alpha$  — постоянная тонкой структуры. Следовательно, формулы (2) и (3) совпадают с точностью до переобозначения  $\alpha \leftrightarrow g_{\Phi}$ ,  $k \leftrightarrow im_{\Phi}$ . Воспользуемся этим в дальнейшем. Также учтем следующее. В теории внутренней конверсии часто применяют такие модели, как: а) модель мюона (электрона), не проникающего внутрь ядра (ниже — модель «без проникновения», сокращенно — БП), т. е.  $R < r$  всегда; б) модель поверхностных токов перехода в ядре (сокращенно — ПТ), где  $J(R) = D\delta(R - R_0)$ ;  $D$  — константа,  $R_0$  — радиус ядра [11]. Далее, так как для ЕОК главную роль играет область ядра [2], ограничимся в (2) и (3) интегрированием по интервалу  $[0, R_0]$ . Чтобы не получить при этом нулевой результат в модели БП, проделаем обычную процедуру (см. [11]): рассмотрим только так называемые табличные матричные элементы, пренебрегая поправками к ним. Ввиду того, что ЕО-переход обуславливается сферически-симметричной частью плотности заряда (тока) перехода [2], положим:

$$\rho(\bar{R}) = \psi_i(\bar{R}) \psi_f(\bar{R}) = \rho_0(R) Y_{00}(n), \quad (4)$$

где  $\rho_0(R)$  выберем в следующем виде (см. приложение В):

$$\rho_0(R) = \frac{iD \delta(R - R_0)}{k} \left[ \frac{2}{R} - \frac{d}{dR} \right], \quad (5)$$

который при ЭМ взаимодействии отвечает модели ПТ.

С учетом изложенных замечаний и формул (4) — (5) нетрудно получить для матричного элемента  $\mu$ -ЕОК при ЭМ взаимодействии  $W_{if}^{\text{ЭМ}}(\text{ЕО})$  следующее выражение:

$$W_{if}^{\text{ЭМ}}(\text{ЕО}) = \sqrt{4\pi} D R_0^2 M(\text{ЕО})/k, \quad (6)$$

где а) в модели БП

$$M(\text{ЕО}) = \alpha k^2 j_1(kR_0) \left[ \int_0^{R_0} [F_i F_f + G_i G_f] h_0(kr) dr + \int_0^{R_0} [G_i F_f - F_i G_f] h_1(kr) dr \right], \quad (7, \text{а})$$

б) в модели ПТ

$$M(\text{ЕО}) = \alpha k^2 h_1(kR_0) \left[ \int_0^{R_0} [F_i F_f + G_i G_f] j_0(kr) dr + \int_0^{R_0} [G_i F_f - F_i G_f] j_1(kr) dr \right]. \quad (7, \text{б})$$



Подчеркнем, что второй интеграл в (7) отвечает токовым членам. Отбрасывая его, будем иметь для матричного элемента  $\mu$ -ЕОК при НВ посредством нейтрального скалярного мезона  $W_{if}^{HB}(\text{EO})$  аналогичное выражение после переобозначения  $k \rightarrow im_\Phi$  и  $d \rightarrow g_\Phi$  в (7). Непосредственная подстановка (4) — (5) в (2) приводит к тому же результату.

Ниже кратко опишем процедуру вычислений. Для осцилляторного потенциала внутри ядра  $V(r) = -t_1 + t_2 r^2$  при  $r \leq R_0$  ВФ мюона в этой области представим в виде степенных рядов по  $r$  с коэффициентами, явный вид которых можно найти, например, в [12]. Для дискретного спектра энергию связи возьмем из работы [13]. Беря отношение вероятностей  $\mu$ -ЕОК в обоих случаях, т. е.

$$S = \frac{W_{\mu}^{HB}(\text{EO})}{W_{\mu}^{\Delta M}(\text{EO})} = \frac{|W_{if}^{\Delta M} + W_{if}^{HB}|^2}{|W_{if}^{\Delta M}|^2}, \quad (8)$$

нормировочные множители ВФ и константа  $D$ , характеризующая ядерный заряд (ток) перехода, сократятся. Это следует из того, что ВФ  $\psi_{i,f}$  и  $\psi_{1,2}$  в обоих случаях одни и те же (см. (1) — (2)).

Согласно модели Вайнберга — Салама [3, 4] константу  $g_\Phi$  положим равной по порядку величины  $1,8 \cdot 10^{-7} A$ , где  $A$  — атомный вес [10]. Это значение лежит в пределах, даваемых экспериментами по спектрам мюонных атомов [9]. Остальные параметры варьировались в следующих границах: масса скалярного мезона  $5 \text{ эВ} \leq m_\Phi \leq 500 \text{ МэВ}$ , кинетическая энергия мюона лежит выше порога  $0,01 \leq E_{\text{кин}} \leq 60 \text{ МэВ}$ . В результате численных расчетов величины  $S$  (см. (8)) получены следующие результаты. Модель БП при  $m_\Phi \sim 500 \text{ МэВ}$  дает даже  $S \sim 10^7$  для  $Z=10$ ,  $E_{\text{кин}}=0,01 \text{ МэВ}$ . Причем с увеличением  $E_{\text{кин}}$  значение  $S$  уменьшается до  $8 \cdot 10^{-4}$  при  $E_{\text{кин}}=60 \text{ МэВ}$ . Однако, согласно работе [13], в  $\mu$ -ВК модель БП дает завышенные результаты. Относительно модели ПТ вклад данного НВ очень мал в широких пределах варьируемых параметров. Максимум величины  $S \sim 1,01$ , т. е.  $\sim 1\%$ . Стоит отметить, что в области  $E_{\text{кин}}=40 \text{ МэВ}$  выше порога для  $Z=90$   $S$  имеет значение, равное 1,09 при  $m_\Phi \sim 50 \text{ МэВ}$ .

Таким образом, получаем следующий вывод, что в области больших  $Z$  при  $E_{\text{кин}} \sim 40\text{—}60 \text{ МэВ}$  следует ожидать вклад данного НВ  $\sim 3\text{—}9\%$  при массе скалярного мезона  $\sim 50 \text{ МэВ}$ . Наличие или отсутствие такой поправки могло бы служить информацией о массе скалярного мезона, которая является свободным параметром модели Вайнберга — Салама.

*Приложение А.* Согласно [14], общее соотношение, связывающее заданный ток  $J(x)$  с создаваемым им полем  $\varphi(x)$ , имеет следующий вид:

$$\varphi(x) = i \int G(x - x') J(x') d^4 x', \quad (1A)$$

где  $G(x)$  — функция Грина (ФГ) мезонного поля.

В интересующем нас случае точечного заряда

$$J(x) = ig_\Phi \delta(r). \quad (2A)$$

Поэтому скалярный потенциал  $\varphi(\vec{r})$ , создаваемый точечным зарядом  $g_\Phi$ , находящимся в точке  $\vec{r}=0$ , определяется уравнением:

$$\begin{aligned} \varphi(x) &= \varphi(\vec{r}) e^{-i\omega t} = -g_\Phi \int G(x - x') \delta(\vec{r}') d^4 x' = \\ &= \frac{-ig_\Phi}{(2\pi)^4} \int G(\vec{k}, \omega) e^{i[\vec{k}(\vec{r}-\vec{r}') - \omega(t-t')]} d^3 r' d^4 k \delta(\vec{r}) dt' = \\ &= -e^{-i\omega t} \frac{ig_\Phi}{(2\pi)^4} \int G(\vec{k}, \omega) e^{i[\vec{k}\cdot\vec{r} + \omega t']} d^4 k dt' \end{aligned}$$

или

$$\varphi(\vec{r}) = -ig_\Phi \int G(k, \omega) \delta(\omega) d^3 k e^{i\vec{k}\cdot\vec{r}} d\omega = g_\Phi \int G(k, 0) e^{i\vec{k}\cdot\vec{r}} d^3 k$$

Воспользовавшись явным видом ФГ мезонного поля:

$$G(x) = G(\vec{k}, \omega) = \frac{1}{k^2 - \omega^2 + m_\Phi^2}, \quad (3)$$

получим

$$\psi(\vec{r}) = g_\Phi \int \frac{e^{i\vec{k}\vec{r}}}{k^2 + m_\Phi^2} d^3k \sim g_\Phi \frac{e^{-m_\Phi r}}{r}. \quad (4)$$

Приложение В. В теории ВК часто рассматривают модель ПТ перехода в ядре [11], где

$$J(R) = D\delta(R - R_0), \quad (1B)$$

здесь  $R_0$  — радиус ядра;  $D$  — константа.

Заряды перехода выражаются через токи по уравнению непрерывности:

$$\text{div } \vec{J}(\vec{R}, t) + \frac{\partial}{\partial t} \rho(\vec{R}, t) = 0 \quad (2B)$$

или

$$\rho(\vec{R}) = -\frac{i}{k} \text{div } \vec{J}(\vec{R}). \quad (3B)$$

Случай ЕОК означает сферически-симметричное распределение ядерного тока (заряда) перехода. Следовательно, разлагая токи и заряды по мультиполям, необходимо оставить члены только с  $L=0$ .

$$\rho(\vec{R}) = \sum_{L, M} \rho_L(R) Y_{LM}(\vec{n}) \rightarrow \rho_0(R) Y_{00}(\vec{n}), \quad (4B)$$

$$\vec{J}(\vec{R}) = \sum_{L, M, \lambda} J_L^\lambda(R) \vec{Y}_{LM}^\lambda(\vec{n}) \rightarrow J_0^1(R) \vec{Y}_{00}^1(\vec{n}).$$

Учитывая, что для произвольной скалярной функции  $f(\vec{r})$  и векторной  $\vec{A}(\vec{r})$

$$\text{div}(f\vec{A}) = f \text{div } \vec{A} + \vec{A} \cdot \nabla f,$$

получим для заряда ЕО-перехода, согласно (2B) — (4B):

$$\begin{aligned} \rho(R) = \rho_0(R) Y_{00}(\vec{n}) &= -\frac{i}{k} \text{div} [J_0^1(R) \vec{Y}_{00}^1(\vec{n})] = -\frac{i}{k} \left[ J_0^1(R) \text{div} \vec{Y}_{00}^1(\vec{n}) + \right. \\ &\left. + \vec{Y}_{00}^1(\vec{n}) \cdot \vec{n} \frac{d}{dR} J_0^1(R) \right] = \frac{i}{k} \left[ \frac{2}{R} + \frac{d}{dR} \right] J_0^1(R) Y_{00}(\vec{n}). \end{aligned} \quad (5B)$$

В (5B) и далее использованы следующие соотношения:

$$\begin{aligned} \vec{n} \cdot \vec{Y}_{LM}^{1+L} &= -\sqrt{\frac{L+1}{2L+1}} Y_{LM} \text{rdiv } Y_{LM}^{1+L} = -(L+2) \sqrt{\frac{L+1}{2L+1}} Y_{LM}. \quad (6B) \\ \langle \delta' | f \rangle &= -\langle \delta | f' \rangle \end{aligned}$$

Тогда с учетом (6B) и (1B) будем иметь в модели ПТ для ЕО-перехода:

$$\rho(\vec{R}) = \frac{iD\delta(R-R_0)}{k} \left[ \frac{2}{R} - \frac{d}{dR} \right] Y_{00}(\vec{n}) = \rho_0(R) Y_{00}(\vec{n}). \quad (7B)$$

### Список литературы

1. Шапиро И. С. // Докл. АН СССР.— 1950.— Т. 42.— С. 1049.
2. Борисоглебский Л. А. // УФН.— 1963.— Т. 81.— С. 271.
3. Weinberg S. // Phys. Rev. Lett.— 1967.— V. 19.— P. 1264.
4. Salam A. 8th Nobel Symposium. Ed. Swartholm.— Stockholm.— 1968.
5. Беловицкий Г. Е. и др. // Письма в ЖЭТФ.— 1978.— Т. 27.— С. 662.
6. Ganzorig Dz. et all // Phys. Lett.— 1978.— V. 77B.— P. 257.
7. Беляев Б. И. // Препринт № 433: ЛИЯФ, 1978.
8. Asgur N. // Nucl. Phys.— 1975.— V. 98B.— P. 329.
9. Borie E., Rinker G. A. // Rev. Mod. Phys.— 1982.— V. 51.— P. 67.

10. Rinker G. A., Wilets L. // Phys. Rev.—1973.— V. 7D.— P. 2629.
11. Банд И. М. и др. Аномалии в КВК  $\gamma$ -лучей.— М., 1976.
12. Слив Л. А., Волчок Б. А. Таблицы кулоновских фаз и амплитуд с учетом конечных размеров ядра.— М., 1956.
13. Карпешин Ф. Ф. и др. // Изв. АН СССР. Сер. физ.—1976.— Т. 40.— С. 1164.
14. Ахнезер А. И., Берестецкий В. Б. Квантовая электродинамика.— М., 1959.

Поступила в редакцию 05.04.85.

РЕПОЗИТОРИЙ БГПУ